

# **Concep $\circ$ e geometrice în grafica pe calculator**

Mihai-Sorin Stupariu

Sem. I, 2016-2017

# Cuprins

<b>1 Generalități</b>	<b>3</b>
1.1 Exemple de programe care utilizează OpenGL . . . . .	3
1.1.1 Versiune folosind OpenGL “vechi” . . . . .	3
1.1.2 Versiune folosind OpenGL “nou” . . . . .	4
1.2 Despre OpenGL . . . . .	7
1.2.1 Elemente generale . . . . .	7
1.2.2 “Vechi” versus “nou” - scurt istoric . . . . .	7
1.2.3 Biblioteci utilizate de OpenGL și funcții asociate . . . . .	7
1.3 Resurse . . . . .	8
<b>2 Primitive grafice. Atribute ale primitivelor grafice</b>	<b>9</b>
2.1 Fundamente teoretice . . . . .	9
2.1.1 Intersecții de segmente . . . . .	9
2.1.2 Poligoane . . . . .	9
2.1.3 Orientarea poligoanelor. Față/spatele unui poligon convex	10
2.2 Algoritmi de rasterizare pentru segmente . . . . .	11
2.3 Exerciții . . . . .	11
<b>3 Transformări</b>	<b>14</b>
3.1 Coordonate omogene . . . . .	14
3.2 Reprezentarea matriceală a transformărilor . . . . .	16
3.3 Transformări de modelare standard în OpenGL. Utilizarea cua-	
ternionilor . . . . .	17
3.4 Exerciții . . . . .	17
<b>4 Reprezentarea scenelor 3D</b>	<b>18</b>
4.1 Coordonate de vizualizare . . . . .	18
4.2 Transformări de proiecție . . . . .	19
4.2.1 Proiecții ortogonale . . . . .	19
4.2.2 Proiecții paralele oblice . . . . .	19
4.2.3 Proiecții perspective . . . . .	19
4.3 Exerciții . . . . .	20

<b>5 Iluminarea scenelor</b>	<b>21</b>
5.1 Modele de iluminare . . . . .	21
5.2 Exerciții . . . . .	22
<b>6 Efecte vizuale</b>	<b>23</b>
6.1 Transparentă; amestecare; factor $\alpha$ . . . . .	23
6.2 Teste de adâncime . . . . .	24
6.3 Efectul de ceată . . . . .	25
6.4 Exerciții . . . . .	25
<b>Bibliografie</b>	<b>26</b>

# Capitolul 1

## Generalități

### 1.1 Exemple de programe care utilizează OpenGL

#### 1.1.1 Versiune folosind OpenGL “vechi”

```
// Codul sursa este adaptat dupa OpenGLBook.com
#include <windows.h> // biblioteci care urmeaza sa fie incluse
#include <GL/freeglut.h> // nu trebuie uitat freeglut.h

void Initialize(void)
{
    glClearColor(0.0f, 0.0f, 0.0f, 0.0f); // culoarea de fond a ecranului
}

void RenderFunction(void)
{
    glClear(GL_COLOR_BUFFER_BIT);
    glPointSize(20.0);
    glBegin(GL_POINTS);
    // primul varf
    glColor4f( 1.0f, 0.0f, 0.0f, 1.0f);
    glVertex4f(-0.8f, -0.8f, 0.0f, 1.0f);
    // al doilea varf
    glColor4f(0.0f, 1.0f, 0.0f, 1.0f);
    glVertex4f(0.0f, 0.8f, 0.0f, 1.0f);
    // al treilea varf
    glColor4f(0.0f, 0.0f, 1.0f, 1.0f);
    glVertex4f(0.8f, -0.8f, 0.0f, 1.0f);
    glEnd();
    glFlush();
}

int main(int argc, char* argv[])
{
    glutInit(&argc, argv);
    glutInitDisplayMode(GLUT_SINGLE|GLUT_RGB);
    glutInitWindowPosition (100,100); // pozitia initiala a ferestrei
    glutInitWindowSize(1000,700); //dimensiunile ferestrei
    glutCreateWindow("Primul triunghi - OpenGL <>nou>>"); // titlul ferestrei
    Initialize();
    glutDisplayFunc(RenderFunction);
    glutMainLoop();
}
```

Elemente importante:

- Directive preprocesare

- Main
  - Inițializări GLUT
  - Generare fereastră
  - Apelare procedură inițializare
  - Apelare procedură desen
  - Apelare MainLoop

### 1.1.2 Versiune folosind OpenGL “nou”

```
// Codul sursa este adaptat dupa OpenGLBook.com
#include <windows.h> // biblioteci care urmeaza sa fie incluse
#include <stdlib.h> // necesare pentru citirea shader-elor
#include <stdio.h>
#include <GL/glew.h> // glew apare inainte de freeglut
#include <GL/freeglut.h> // nu trebuie uitat freeglut.h
// // // // // // // // //

GLuint
VaoId,
VboId,
ColorBufferId,
VertexShaderId,
FragmentShaderId,
ProgramId;
// // // // // // // // //

// Shader-ul de varfuri / Vertex shader (este privit ca un sir de caractere)
const GLchar* VertexShader =
{
  "#version 400\n"
  "layout(location=0) in vec4 in_Position;\n"
  "layout(location=1) in vec4 in_Color;\n"
  "out vec4 ex_Color;\n"
  "void main(void)\n"
  "\n"
  " gl_Position = in_Position;\n"
  " ex_Color = in_Color;\n"
  "\n"
};

// Shader-ul de fragment / Fragment shader (este privit ca un sir de caractere)
const GLchar* FragmentShader =
{
  "#version 400\n"
  "in vec4 ex_Color;\n"
  "out vec4 out_Color;\n"
  "void main(void)\n"
  "\n"
  " out_Color = ex_Color;\n"
  "\n"
};

void CreateVBO(void)
{
}

// varfurile
GLfloat Vertices[] = {
  -0.8f, -0.8f, 0.0f, 1.0f,
  0.0f, 0.8f, 0.0f, 1.0f,
```

```

    0.8f, -0.8f, 0.0f, 1.0f };
// culorile, ca atribute ale varfurilor
    GLfloat Colors[] = {
        1.0f, 0.0f, 0.0f, 1.0f,
        0.0f, 1.0f, 0.0f, 1.0f,
        0.0f, 0.0f, 1.0f, 1.0f };
    }
// se creeaza un buffer nou
    glGenBuffers(1, &VboId);
// este setat ca buffer curent
    glBindBuffer(GL_ARRAY_BUFFER, VboId);
// punctele sunt "copiate" in bufferul curent
    glBufferData(GL_ARRAY_BUFFER, sizeof(Vertices), Vertices, GL_STATIC_DRAW);
// se creeaza / se leaga un VAO (Vertex Array Object) - util cand se utilizeaza
mai multe VBO
    glGenVertexArrays(1, &VaoId);
    glBindVertexArray(VaoId);
// se activeaza lucrul cu atribute; atributul 0 = pozitie
    glEnableVertexAttribArray(0);
//
    glVertexAttribPointer(0, 4, GL_FLOAT, GL_FALSE, 0, 0);
// un nou buffer, pentru culoare
    glGenBuffers(1, &ColorBufferId);
    glBindBuffer(GL_ARRAY_BUFFER, ColorBufferId);
    glBufferData(GL_ARRAY_BUFFER, sizeof(Colors), Colors, GL_STATIC_DRAW);
// atributul 1 = culoare
    glEnableVertexAttribArray(1);
    glVertexAttribPointer(1, 4, GL_FLOAT, GL_FALSE, 0, 0);
}

void DestroyVBO(void)
{
    glDisableVertexAttribArray(1);
    glDisableVertexAttribArray(0);
    glBindBuffer(GL_ARRAY_BUFFER, 0);
    glDeleteBuffers(1, &ColorBufferId);
    glDeleteBuffers(1, &VboId);
    glBindVertexArray(0);
    glDeleteVertexArrays(1, &VaoId);
}

void CreateShaders(void)
{
    VertexShaderId = glCreateShader(GL_VERTEX_SHADER);
    glShaderSource(VertexShaderId, 1, &VertexShader, NULL);
    glCompileShader(VertexShaderId);

    FragmentShaderId = glCreateShader(GL_FRAGMENT_SHADER);
    glShaderSource(FragmentShaderId, 1, &FragmentShader, NULL);
    glCompileShader(FragmentShaderId);

    ProgramId = glCreateProgram();
    glAttachShader(ProgramId, VertexShaderId);
    glAttachShader(ProgramId, FragmentShaderId);
    glLinkProgram(ProgramId);
    glUseProgram(ProgramId);
}

void DestroyShaders(void)
{
    glUseProgram(0);
}

```

```

glDetachShader(ProgramId, VertexShaderId);
glDetachShader(ProgramId, FragmentShaderId);
glDeleteShader(FragmentShaderId);
glDeleteShader(VertexShaderId);
glDeleteProgram(ProgramId);
}

void Initialize(void)
{
    glClearColor(0.0f, 0.0f, 0.0f, 0.0f); // culoarea de fond a ecranului
}

void RenderFunction(void)
{
    glClear(GL_COLOR_BUFFER_BIT);
    CreateVBO();
    CreateShaders();
    glPointSize(20.0);
    glDrawArrays(GL_POINTS, 0, 3);
    glFlush();
}

void Cleanup(void)
{
    DestroyShaders();
    DestroyVBO();
}

int main(int argc, char* argv[])
{
    glutInit(&argc, argv);
    glutInitDisplayMode(GLUT_SINGLE|GLUT_RGB);
    glutInitWindowPosition (100,100); // pozitia initiala a ferestrei
    glutInitWindowSize(1000,700); //dimensiunile ferestrei
    glutCreateWindow("Primul triunghi - OpenGL <>nou<>"); // titlul ferestrei
    glewInit(); // nu uitati de initializare glew; trebuie initializat inainte
de a a initializa desenarea
    Initialize();
    glutDisplayFunc(RenderFunction);
    glutCloseFunc(Cleanup);
    glutMainLoop();
}

```

Elemente importante

- Directive preprocesare
- Main
  - Inițializări GLUT
  - Generare fereastră
  - Apelare procedură inițializare
  - Apelare procedură desen
    - \* **Creare VBO / VAO**
    - \* **Creare / Apelare shader-e**
  - **Stergere Shader-e, VBO / VAO**
  - Apelare MainLoop

## 1.2 Despre OpenGL

### 1.2.1 Elemente generale

- OpenGL este o interfață de programare (Application Programming Interface API)
- Pentru a funcționa are nevoie de o serie de biblioteci; versiunea suportată depinde de placa grafică a calculatorului
- OpenGL **nu** este un limbaj de programare (există GLSL)
- Arhitectura de tip *client-server* (CPU-GPU)

### 1.2.2 “Vechi” versus “nou” - scurt istoric

- 1992: versiunea 1.0 a OpenGL (derivat din IRIS GL), lansat de SGI; “open standard”
- 1992: OpenGL Architecture Review Board (elaborarea specificațiilor)
- 1997: versiunea 1.1
- 2002/2003: versiunile 1.4, 1.5; GLSL (GL Shading Language) apare ca o extensie a funcționalității de bază
- 2004: OpenGL 2.0; GLSL 1.10.59 inclus în “core”
- 2008: OpenGL 3.0: conceptul de “funcționalități depreciate”, legate de modul de redare imediat; mecanismul de depreciere a fost implementat / extins în 2009, când au fost lansate versiunile 3.1 și 3.2
- 2010: OpenGL 3.3 (hardware care suportă Direct3D 10); OpenGL 4.0 (hardware care suportă Direct3D 11); numerotarea versiunilor de GLSL este “sincronizată” (GLSL v. 3.30.6, respectiv v. 4.00.9)
- 2014 OpenGL 4.5 (respectiv GLSL 4.50)

### 1.2.3 Biblioteci utilizate de OpenGL și funcții asociate

- bibliotecă fundamentală (core library): este independentă de platforma pe care se lucrează; funcțiile corespunzătoare au prefixul `gl` (de exemplu: (i) `glClearColor()`; `glFlush()` – comune; (ii) `glVertex()`; `glColor()`; `glBegin()` – depreciate; (iii) `glGenVertexArrays()`; `glDrawArrays()` – OpenGL nou.
- GLU (OpenGL Utility): conține mai ales proceduri / funcții legate de proiecție, precum și funcții pentru conice și cuadrice; funcțiile asociate au prefixul `glu`
- GLUT (OpenGL Utility Toolkit) / freeglut: bibliotecă *dependentă de sistem*, utilizată pentru a realiza fereastra de vizualizare; poate interacționa cu sisteme de operare bazate pe ferestre de vizualizare; funcțiile specifice au prefixul `glut`

### **1.3 Resurse**

Resurse generale:

- Site-ul oficial OpenGL
- Cărți: [9], [7], [6]
- Cărți / tutoriale online: D. Eck, Introduction to Computer Graphics; A. Gerdelan, OpenGL 4 tutorials; <http://learnopengl.com/>; etc.
- Resurse curs (tutorial de instalare, coduri sursă pentru laborator)

## Capitolul 2

# Primitive grafice. Atribute ale primitivelor grafice

### 2.1 Fundamente teoretice

#### 2.1.1 Intersecții de segmente

În plan (context 2D)

- Segmentele  $[AB]$  și  $[CD]$  se intersecțează  $\Leftrightarrow A$  și  $B$  sunt de o parte și de alta a dreptei  $CD$  și  $C$  și  $D$  sunt de o parte și de alta a dreptei  $AB$ .
- Două puncte  $M$  și  $N$  sunt de o parte și de alta a dreptei  $d$  de ecuație  $f(x, y) = \alpha x + \beta y + \gamma = 0 \Leftrightarrow f(M) \cdot f(N) < 0$ .

În spațiu (context 3D)

- **Varianta 1** Reducere la cazul 2D. Se găsește o izometrie / transformare afină astfel ca figura să fie situată în planul  $z = 0$ .
- **Varianta 2** Se folosește reprezentarea segmentelor cu ajutorul combinațiilor affine. Segmentele  $[AB]$  și  $[CD]$  se intersecțează  $\Leftrightarrow$

$$\exists s_0, t_0 \in [0, 1] \quad \text{a.i.} \quad (1 - t_0)A + t_0B = (1 - s_0)C + s_0D.$$

#### 2.1.2 Poligoane

Reguli referitoare la vârfurile  $P_1, P_2, \dots, P_N$  (diferite două căte două) care determină un poligon, pentru ca poligonul să poată fi desenat:

1. Punctele trebuie să fie coplanare. **De verificat:** condiția de coplanaritate

$$\text{rang} \begin{pmatrix} 1 & 1 & 1 & \dots & 1 \\ x_{P_1} & x_{P_2} & x_{P_3} & \dots & x_{P_N} \\ y_{P_1} & y_{P_2} & y_{P_3} & \dots & y_{P_N} \\ z_{P_1} & z_{P_2} & z_{P_3} & \dots & z_{P_N} \end{pmatrix} = 3 \quad (2.1)$$

sau faptul că

$$\dim_{\mathbb{R}} \langle \overrightarrow{P_1P_2}, \overrightarrow{P_1P_3}, \dots, \overrightarrow{P_1P_N} \rangle = 2. \quad (2.2)$$

O condiție alternativă este coliniaritatea vectorilor  $\overrightarrow{P_1P_2} \times \overrightarrow{P_2P_3}$ ,  $\overrightarrow{P_2P_3} \times \overrightarrow{P_3P_4}$ ,  $\dots$ ,  $\overrightarrow{P_{N-1}P_N} \times \overrightarrow{P_NP_1}$ ,  $\overrightarrow{P_NP_1} \times \overrightarrow{P_1P_2}$

2. Vârfurile trebuie indicate în ordinea corectă, astfel încât linia pologonală să nu aibă autointersecții. **De verificat:** intersecții de segmente (cf. secțiunea 2.1.1).
3. Poligonul trebuie să fie convex. **De verificat:** convexitatea (folosind produse vectoriale).

### 2.1.3 Orientarea poligoanelor. Față/spatele unui poligon convex

Să considerăm un poligon convex  $(A_1, A_2, \dots, A_n)$  (sensul de parcursere este important!). Alegem trei vârfuri consecutive, de exemplu  $A_1, A_2, A_3$ , având coordonatele  $A_1 = (x_1, y_1, z_1)$ ,  $A_2 = (x_2, y_2, z_2)$ , respectiv  $A_3 = (x_3, y_3, z_3)$ . Ecuația planului determinat de cele trei puncte are forma

$$Ax + By + Cz + D = 0,$$

unde coeficienții  $A, B, C$  și  $D$  sunt dați de formulele

$$A = \begin{vmatrix} y_1 & z_1 & 1 \\ y_2 & z_2 & 1 \\ y_3 & z_3 & 1 \end{vmatrix}, \quad B = -\begin{vmatrix} x_1 & z_1 & 1 \\ x_2 & z_2 & 1 \\ x_3 & z_3 & 1 \end{vmatrix} = \begin{vmatrix} x_1 & 1 & z_1 \\ x_2 & 1 & z_2 \\ x_3 & 1 & z_3 \end{vmatrix},$$

$$C = \begin{vmatrix} x_1 & y_1 & 1 \\ x_2 & y_2 & 1 \\ x_3 & y_3 & 1 \end{vmatrix}, \quad D = -\begin{vmatrix} x_1 & y_1 & z_1 \\ x_2 & y_2 & z_2 \\ x_3 & y_3 & z_3 \end{vmatrix},$$

fiind deduși din condiția de coliniaritate

$$\begin{vmatrix} x & y & z & 1 \\ x_1 & y_1 & z_1 & 1 \\ x_2 & y_2 & z_2 & 1 \\ x_3 & y_3 & z_3 & 1 \end{vmatrix} = 0.$$

Notăm  $\pi(x, y, z) = Ax + By + Cz + D$ . Notiunile de **față/spate** a planului (și, implicit, a poligonului convex fixat) sunt definite astfel:

- $P = (x, y, z)$  se află în față planului (poligonului)  $\Leftrightarrow \pi(x, y, z) > 0$ ;
- $P = (x, y, z)$  se află în spatele planului (poligonului)  $\Leftrightarrow \pi(x, y, z) < 0$ .

Presupunem acum că  $D = 0$ , deci planul trece prin origine, iar ecuația sa este  $\pi(x, y, z) = Ax + By + Cz = 0$ . Considerând vectorul  $N = (A, B, C)$  care direcționează normala la plan, avem  $\pi(A, B, C) > 0$ , deci vectorul  $N$  indică partea din față a poligonului (planului). În general, un vector  $(x, y, z)$  este orientat înspre partea din față a planului dacă  $\pi(x, y, z) > 0$ , i.e.  $\langle (x, y, z), N \rangle > 0$ , ceea ce înseamnă că proiecția vectorului  $(x, y, z)$  pe  $N$  este la fel orientată ca și  $N$ . Prin translație, aceste rezultate pot fi extinse pentru un plan arbitrar. Mai mult, presupunând că parcurgem poligonul  $(A_1, A_2, \dots, A_n)$  în sens trigonometric și că rotim un burghiu drept în sensul indicat de această parcursere, acesta se va deplasa în sensul indicat de vectorul  $N$ , deci înspre față poligonului (vezi figura 2.1.3).

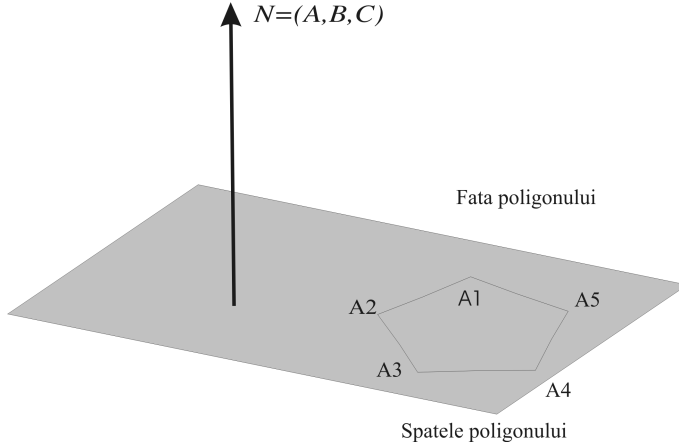


Figura 2.1: Orientarea unui poligon

**Exemplul 2.1** Să considerăm poligonul  $(A_1, A_2, A_3, A_4)$ , unde

$$A_1 = (1, 1, 1), \quad A_2 = (-1, 1, 1), \quad A_3 = (-1, -1, 1), \quad A_4 = (1, -1, 1).$$

În acest caz coeficienții  $A, B, C, D$  sunt  $A = 0, B = 0, C = 4, D = -4$ , deci vectorul normal este  $N = (0, 0, 4)$  (are aceeași direcție și același sens cu axa  $Oz$ ), iar ecuația planului suport al acestui poligon este  $4z - 4 = 0$ . În particular, punctul  $(0, 0, 2)$  este situat în fața poligonului, iar originea  $(0, 0, 0)$  în spatele acestuia.

## 2.2 Algoritmi de rasterizare pentru segmente

Fie  $M_0 = (x_0, y_0), M_{End} = (x_{End}, y_{End})$  extremitățile unui segment ce urmează să fie reprezentat în format raster (cu  $x_0, y_0, x_{End}, y_{End} \in \mathbb{N}$ ). Se presupune că dreapta  $M_0M_{End}$  are ecuația

$$y = mx + n. \quad (2.3)$$

**Notății și proprietăți:**

$$\Delta x = x_{End} - x_0, \quad \Delta y = y_{End} - y_0, \quad m = \frac{\Delta y}{\Delta x}.$$

Presupunem  $\Delta x > \Delta y > 0$ . Numărul de pași care trebuie realizati în lungul axei orizontale  $Ox$  este mai mare decât numărul de pași care trebuie realizati în lungul axei verticale  $Oy$ .

- **Varianta 1** Implementare directă a ecuației (2.3)
- **Varianta 2** Algoritmul DDA
- **Varianta 2** Algoritmul lui Bresenham

## 2.3 Exerciții

**Exercițiul 2.3.1** Fie  $A = (3, 1), B = (5, 3), C = (10, 8), D = (1, -1)$ . Stabiliți dacă segmentele  $[AB]$  și  $[CD]$  se intersecțează și, în caz afirmativ, determinați coordonatele punctului de intersecție.

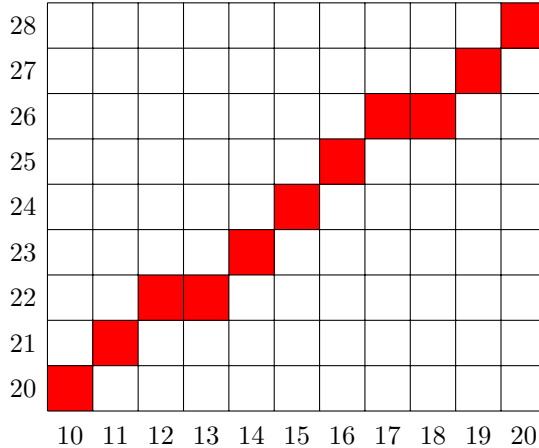


Figura 2.2: **Algoritmul DDA / algoritmul lui Bresenham.**  
Pixelii selectați pentru a uni punctele  $(10, 20)$  și  $(20, 28)$  sunt colorați cu roșu.

**Exercițiu 2.3.2** Fie  $A = (1, 2, 3)$ ,  $B = (3, 2, 5)$ ,  $C = (8, 6, 2)$ ,  $D = (-1, 0, 3)$ . Stabiliți dacă segmentele  $[AB]$  și  $[CD]$  se intersecțează și, în caz afirmativ, determinați coordonatele punctului de intersecție.

### Exercițiu 2.3.3

- a) Verificați echivalența dintre condițiile (2.1) și (2.2).
- b) Care este interpretarea geometrică dacă egalitatea din condiția (2.1) devine inegalitate?

**Exercițiu 2.3.4** Calculați produsul vectorial  $v \times w$ , pentru  $v = (1, 2, 0)$  și  $w = (-3, 1, 0)$ . Aceeași cerință pentru  $v = (2, 4, 1)$  și  $w = (-1, -1, 1)$ .

**Exercițiu 2.3.5** Stabiliți natura virajelor din poligonul  $P_1P_2P_3P_4P_5P_6$ , pentru  $P_1 = (1, 0)$ ,  $P_2 = (4, 0)$ ,  $P_3 = (7, 2)$ ,  $P_4 = (5, 4)$ ,  $P_5 = (8, 6)$ ,  $P_6 = (0, 7)$ .

**Exercițiu 2.3.6** Considerăm punctele  $P_1 = (2, 3, 5)$ ,  $P_2 = (3, 4, 6)$ ,  $P_3 = (0, 3, 4)$ ,  $P_4 = (3, 2, 5)$ . Stabiliți care este poziția lui  $P_4$  față de  $\Delta P_1P_2P_3$ .

**Exercițiu 2.3.7** Fie  $P_1, P_2, P_3$  trei puncte necoliniare din  $\mathbb{R}^3$ . Considerăm ecuația planului  $Ax + By + Cz + D = 0$  obținută prin dezvoltarea determinantului din ecuația (2.1). Verificați că  $\overrightarrow{P_1P_2} \times \overrightarrow{P_2P_3} = (A, B, C)$ .

**Exercițiu 2.3.8** Fie punctele  $A = (2, 3, 0)$ ,  $B = (5, 4, 0)$ ,  $C = (0, 8, 0)$ . Stabiliți ordinea în care trebuie indicate punctele astfel ca punctul  $(-1, 2, 6)$  să fie în fața planului triunghiului determinat de ele.

**Exercițiu 2.3.9** Considerăm punctele  $A = (-1, 0, 1)$ ,  $B = (1, 0, 1)$ ,  $C = (1, 0, -1)$ ,  $D = (-1, -0, -1)$ . În ce ordine trebuie indicate punctele pentru ca fața poligonului să fie orientată spre prelungirea axei  $Oy$ ?

**Exercițiu 2.3.10** La reprezentarea unui segment folosind algoritmul DDA sunt selectați 11 pixeli (inclusiv cei corespunzând extremităților segmentului). Calculați panta dreptei suport a segmentului, știind că dintre pixelii selectați doar doi au aceeași ordonată. Dați exemplu de puncte  $M_0$  și  $M_{End}$  care să verifice aceste condiții și scrieți explicit algoritmul DDA pentru aceste puncte.

**Exercițiu 2.3.11** La reprezentarea unui segment folosind algoritmul Bresenham s-a obținut parametrul de decizie inițial  $p_0 = 2$ . Știind că panta dreptei suport a segmentului este 0.6, calculați valoarea lui  $p_1$ . Dați exemplu de puncte  $M_0$  și  $M_{End}$  care să verifice aceste condiții și scrieți explicit algoritmul lui Bresenham pentru aceste puncte (indicați și valorile parametrului de decizie).

**Exercițiu 2.3.12**

- a) Cum se procedează în algoritmul DDA / algoritmul lui Bresenham dacă se dorește parcurgerea segmentului de la dreapta la stânga?
- b) Scrieți algoritmul DDA / algoritmul lui Bresenham pentru cazul  $0 < \Delta x < \Delta y$ . Ce alte situații mai pot să apară?

**Exercițiu 2.3.13** Explicați cum poate fi adaptată metoda din algoritmul lui Bresenham pentru a reprezenta alte curbe (cerc, elipsă, etc.).

**Exercițiu 2.3.14** Ilustrați diferența de robustețe și de eficiență pentru cele trei variante de algoritmi din setiunea 2.2.

**Exercițiu 2.3.15** Care este secvența de cod sursă care generează culoarea galbenă pentru o primitivă grafică?

**Exercițiu 2.3.16** Câte triunghiuri vor fi desenate pentru GL\_TRIANGLES dacă sunt indicate 40 de vârfuri distincte?

# Capitolul 3

## Transformări

OpenGL utilizează (implicit sau explicit) 4 tipuri de transformări:

- **de modelare**, aplicate obiectelor care urmează să fie reprezentate; acest tip de transformări este discutat în detaliu în paragrafele din acest capitol;
- **de vizualizare**, care au rolul de a modifica poziția observatorului față de cea implicită;
- **de proiecție**, care precizează tipul proiecției utilizate, precum și ceea ce urmează a fi ocupat;
- **de viewport**, care indică date despre fereastra de vizualizare (vizor).

Pentru a realiza o uniformizare a tuturor acestor tipuri și pentru a putea compune diferitele transformări care pot să apară în realizarea unei scene, o transformare arbitrară este reprezentată în memoria internă a bibliotecilor OpenGL printr-o matrice  $4 \times 4$ . Fundamentele matematice ale acestei identificări sunt elificate în secțiunea 3.2.

### 3.1 Coordonate omogene

Scopul acestui paragraf este de a explica, pe scurt, construcția spațiului proiectiv real și de a explica modul în care sunt introduse coordonatele omogene. Pentru mai multe detalii referitoare la acest subiect (și la geometria proiectivă, în general) pot fi consultate lucrările [10], [12] sau [2]. Utilitatea coodonatelor omogene va deveni clară în secțiunea 3.2.

Pe mulțimea  $\mathbb{R}^4 \setminus \{0\}$  introducem relația de echivalență  $\sim$  dată prin  $X \sim Y$  dacă și numai dacă există  $\lambda \neq 0$  astfel ca  $Y = \lambda X$ . Clasa de echivalență a unui element  $X = (X_1, X_2, X_3, X_0)$  va fi notată cu  $[X_1, X_2, X_3, X_0]$ . Astfel, de exemplu, avem  $[1, 2, 3, -5] = [2, 4, 6, -10]$ . Mulțimea

$$\mathbb{P}^3\mathbb{R} = \{[X_1, X_2, X_3, X_0] | (X_1, X_2, X_3, X_0) \in \mathbb{R}^4 \setminus \{0\}\}$$

a tuturor claselor de echivalență este numită **spațiu proiectiv real**. Pentru un element  $P = [X_1, X_2, X_3, X_0] \in \mathbb{P}^3\mathbb{R}$ , sunt definite și unice până la înmulțirea cu un scalar nenul **coordonatele omogene** ale lui  $P$ , și anume  $(X_1, X_2, X_3, X_0)$ .

Există o aplicație de inclusiune naturală  $\iota : \mathbb{R}^3 \hookrightarrow \mathbb{P}^3\mathbb{R}$ , dată prin formula  $\iota(x_1, x_2, x_3) = [x_1, x_2, x_3, 1]$ .

Pe de altă parte, fie  $[\delta]$  clasa de echivalență a unei drepte  $\delta$  modulo relația de paralelism (intuitiv, o astfel de clasă de echivalență poate fi privită ca punct de

la infinit al unei drepte, în sensul că două drepte paralele au în comun un punct la infinit, iar prin acest punct trece orice dreaptă paralelă cu ele). Fie  $(v_1, v_2, v_3)$  un vector director al lui  $\delta$  (atunci orice vector de forma  $(\lambda v_1, \lambda v_2, \lambda v_3)$ , cu  $\lambda \neq 0$  este, la rândul său, un vector director al lui  $\delta$ ). Îi putem asocia lui  $[\delta]$  elementul  $[v_1, v_2, v_3, 0]$  din spațiul  $\mathbb{P}^3\mathbb{R}$ .

În concluzie, spațiul proiectiv real  $\mathbb{P}^3\mathbb{R}$  conține două tipuri de elemente:

- **”puncte reale”**: adică elemente de forma  $P = [X_1, X_2, X_3, X_0]$  cu  $X_0 \neq 0$ ;  $P$  îcoresponde punctului  $\left(\frac{X_1}{X_0}, \frac{X_2}{X_0}, \frac{X_3}{X_0}\right)$  din spațiul geometric  $\mathbb{R}^3$ ,
- **”puncte de la infinit”**: adică elemente de forma  $Q = [X_1, X_2, X_3, 0]$ . Multimea punctelor de la infinit formează un plan, numit **planul de la infinit**, având ecuația  $X_0 = 0$ .

Oricărui loc geometric  $L$  din  $\mathbb{R}^3$  i se poate asocia un loc geometric  $\bar{L}$  din  $\mathbb{P}^3\mathbb{R}$ , prin ”completarea” cu puncte de la infinit. Mai mult, dacă  $L$  este descris prin ecuații implicate, i se poate asocia un loc geometric  $\bar{L}$  din  $\mathbb{P}^3\mathbb{R}$ , obținut prin **omogenizarea** ecuațiilor lui  $L$ . Astfel, dacă  $L$  este dat prin ecuația

$$a_1x_1 + a_2x_2 + a_3x_3 + a_0 = 0,$$

omogenizarea ecuației lui  $L$  se obține astfel: se notează  $x_i = \frac{X_i}{X_0}$  ( $i = 1, 2, 3$ ) și se efectuează înlocuirile în ecuația lui  $L$ , obținând, după eliminarea numitorului, ecuația omogenă a lui  $\bar{L}$

$$a_1X_1 + a_2X_2 + a_3X_3 + a_0X_0 = 0.$$

Este de menționat faptul că, în general, o ecuație omogenă de forma

$$a_1X_1 + a_2X_2 + a_3X_3 + a_0X_0 = 0 \quad (\text{cu } \text{rang}(a_1, a_2, a_3, a_0) = 1)$$

reprezintă **un plan** din spațiul proiectiv real  $\mathbb{P}^3\mathbb{R}$ , iar **o dreaptă** este data printr-un sistem de forma

$$\begin{cases} a_1X_1 + a_2X_2 + a_3X_3 + a_0X_0 = 0 \\ b_1X_1 + b_2X_2 + b_3X_3 + b_0X_0 = 0 \end{cases} \quad (\text{cu } \text{rang} \begin{pmatrix} a_1 & a_2 & a_3 & a_0 \\ b_1 & b_2 & b_3 & b_0 \end{pmatrix} = 2).$$

**Exemplul 3.1** Să considerăm dreapta  $d$  din  $\mathbb{R}^3$  având ecuațiile implice

$$\begin{cases} x_1 - x_2 - x_3 - 4 = 0 \\ 3x_1 - x_2 + x_3 + 2 = 0. \end{cases}$$

Trecând la ecuații parametrice, se deduce că un vector director al dreptei este  $(1, 2, -1)$ . Prin omogenizare, se obține dreapta  $\bar{d}$  din  $\mathbb{P}^3\mathbb{R}$  având ecuațiile

$$\begin{cases} X_1 - X_2 - X_3 - 4X_0 = 0 \\ 3X_1 - X_2 + X_3 + 2X_0 = 0. \end{cases}$$

Este de remarcat faptul că intersecția dintre  $\bar{d}$  și dreapta de la infinit este data de soluțiile sistemului

$$\begin{cases} X_1 - X_2 - X_3 - 4X_0 = 0 \\ 3X_1 - X_2 + X_3 + 2X_0 = 0 \\ X_0 = 0, \end{cases}$$

adică punctul de la infinit al dreptei  $d$ , și anume  $[1, 2, -1, 0]$ .

### 3.2 Reprezentarea matriceală a transformărilor

O translație  $\mathbf{T} : \mathbb{R}^3 \rightarrow \mathbb{R}^3$  de vector  $\mathbf{t} = (t_1, t_2, t_3)$  poate fi reprezentată matriceală sub forma

$$\begin{pmatrix} x_1 \\ x_2 \\ x_3 \end{pmatrix} \mapsto \begin{pmatrix} x_1 \\ x_2 \\ x_3 \end{pmatrix} + \begin{pmatrix} t_1 \\ t_2 \\ t_3 \end{pmatrix}.$$

Pe de altă parte, rotația de axă  $Ox_3$  și unghi  $\theta$  este dată de

$$\begin{pmatrix} x_1 \\ x_2 \\ x_3 \end{pmatrix} \mapsto \begin{pmatrix} \cos \theta & -\sin \theta & 0 \\ \sin \theta & \cos \theta & 0 \\ 0 & 0 & 1 \end{pmatrix} \cdot \begin{pmatrix} x_1 \\ x_2 \\ x_3 \end{pmatrix},$$

iar scalarea de factori  $s_1, s_2, s_3$  (de-a lungul celor trei axe) se reprezintă ca

$$\begin{pmatrix} x_1 \\ x_2 \\ x_3 \end{pmatrix} \mapsto \begin{pmatrix} s_1 & 0 & 0 \\ 0 & s_2 & 0 \\ 0 & 0 & s_3 \end{pmatrix} \cdot \begin{pmatrix} x_1 \\ x_2 \\ x_3 \end{pmatrix}.$$

Se observă o diferență calitativă evidentă între translație, pe de o parte, și rotație și scalare, pe de altă parte. O notație uniformă, care înglobează toate cele trei tipuri de transformări poate fi obținută utilizând coordonate omogene. Mai precis, fie  $f : \mathbb{R}^3 \rightarrow \mathbb{R}^3$  o aplicație afină arbitrară a lui  $\mathbb{R}^3$ , dată prin

$$\begin{pmatrix} x_1 \\ x_2 \\ x_3 \end{pmatrix} \mapsto \begin{pmatrix} a_{11} & a_{12} & a_{13} \\ a_{21} & a_{22} & a_{23} \\ a_{31} & a_{32} & a_{33} \end{pmatrix} \cdot \begin{pmatrix} x_1 \\ x_2 \\ x_3 \end{pmatrix} + \begin{pmatrix} b_1 \\ b_2 \\ b_3 \end{pmatrix}. \quad (3.1)$$

Relația (3.1) poate fi rescrisă, introducând a patra coordonată și ținând cont de forma aplicației  $\iota$ , sub forma

$$\begin{pmatrix} x_1 \\ x_2 \\ x_3 \\ 1 \end{pmatrix} \mapsto \begin{pmatrix} a_{11} & a_{12} & a_{13} & b_1 \\ a_{21} & a_{22} & a_{23} & b_2 \\ a_{31} & a_{32} & a_{33} & b_3 \\ 0 & 0 & 0 & 1 \end{pmatrix} \cdot \begin{pmatrix} x_1 \\ x_2 \\ x_3 \\ 1 \end{pmatrix}.$$

Trcând la coordonate omogene  $(X_1, X_2, X_3, X_0)$  se obține transformarea

$$\begin{pmatrix} X_1 \\ X_2 \\ X_3 \\ X_0 \end{pmatrix} \mapsto \begin{pmatrix} a_{11} & a_{12} & a_{13} & b_1 \\ a_{21} & a_{22} & a_{23} & b_2 \\ a_{31} & a_{32} & a_{33} & b_3 \\ 0 & 0 & 0 & 1 \end{pmatrix} \cdot \begin{pmatrix} X_1 \\ X_2 \\ X_3 \\ X_0 \end{pmatrix}.$$

Acestei transformări affine îi corespunde matricea  $4 \times 4$

$$\mathcal{M}_f = \begin{pmatrix} a_{11} & a_{12} & a_{13} & b_1 \\ a_{21} & a_{22} & a_{23} & b_2 \\ a_{31} & a_{32} & a_{33} & b_3 \\ 0 & 0 & 0 & 1 \end{pmatrix}.$$

În general, orice matrice inversabilă  $A = (a_{i,j})_{i,j=1,2,3,0}$  cu 4 linii și 4 coloane induce o transformare geometrică  $\mathbf{T}_A : \mathbb{P}^3\mathbb{R} \rightarrow \mathbb{P}^3\mathbb{R}$ , dată de formula

$$\begin{pmatrix} X_1 \\ X_2 \\ X_3 \\ X_0 \end{pmatrix} \mapsto A \cdot \begin{pmatrix} X_1 \\ X_2 \\ X_3 \\ X_0 \end{pmatrix}.$$

În cazul în care elementele ultimei linii a matricei  $A$  sunt de forma  $a_{01} = 0$ ,  $a_{02} = 0$ ,  $a_{03} = 0$ ,  $a_{00} = \alpha$  ( $\alpha \neq 0$ ), această transformare duce punctele reale în puncte reale și punctele de la infinit în puncte de la infinit. În general, însă, transformările induse de matrice  $4 \times 4$  pot transforma unele puncte reale în puncte imaginare și reciproc. Geometric, este vorba de matrice induse de transformări perspective ale lui  $\mathbb{R}^3$ , care transformă (unele) drepte paralele în drepte concurente și invers.

**Exemplul 3.2** Să considerăm matricea

$$A = \begin{pmatrix} 1 & 2 & 0 & 1 \\ 0 & 1 & 3 & -1 \\ 1 & 0 & 0 & -1 \\ 1 & 1 & -1 & 2 \end{pmatrix}.$$

Atunci punctul real  $P = [1, 1, 1, 1]$  este transformat în punctul real  $[4, 3, 0, 3] = [\frac{4}{3}, 1, 0, 1]$ . În schimb, imaginea punctului real  $Q = [1, 3, 6, 1]$  prin  $\mathbf{T}_A$  este punctul de la infinit  $[8, 20, 0, 0]$  iar punctul de la infinit  $R = [1, -1, 2, 0]$  are ca imagine punctul real  $[-1, 5, 1, -2] = [\frac{1}{2}, -\frac{5}{2}, -\frac{1}{2}, 1]$ .

### 3.3 Transformări de modelare standard în OpenGL. Utilizarea cuaternionilor

#### 3.4 Exerciții

**Exercițiul 3.4.1** Determinați  $\lambda$  astfel ca în planul proiectiv  $\mathbb{P}^2\mathbb{R}$  să aibă loc egalitatea  $[1, 2, 3] = [2, 4, \lambda^2 - \lambda]$ .

**Exercițiul 3.4.2** Determinați punctul de la infinit al dreaptei  $d$  din  $\mathbb{R}^3$  având ecuațiile implice

$$\begin{cases} 2x_1 + x_2 + 2x_3 - 6 = 0 \\ -x_1 + x_2 - 3x_3 + 2 = 0. \end{cases}$$

**Exercițiul 3.4.3** Pentru transformarea  $\mathbf{T}_A$  de la exercițiul 3.2 dați și alte exemple de puncte reale care au ca imagine puncte de la infinit și reciproc. Determinați mulțimea tuturor punctelor de la infinit care au ca imagine puncte de la infinit și stabiliți dimensiunea acestui loc geometric.

**Exercițiul 3.4.4** Determinați matricea compunerii dintre translația de vector  $\mathbf{t} = (2, 3, 1)$  și scalarea de factori  $(-1, 3, 5)$ . Care este rezultatul dacă cele două transformări sunt aplicate în ordine inversă?

**Exercițiul 3.4.5** Determinați produsul cuaternionilor  $q_1 = 1 - 2i - 2j - 4k$ ,  $q_2 = 2 + i + 3j - k$ .

## Capitolul 4

# Reprezentarea scenelor 3D

### 4.1 Coordonate de vizualizare

Precizarea faptului că se dorește realizarea unei scene 3D se face indicând modul de lucru matriceal, precum și precizând informații legate de poziția observatorului și de direcția de observare.

**Coordonatele observatorului** în raport cu reperul de modelare sunt date de  $(x_0, y_0, z_0)$ , iar **coordonatele punctului de referință**  $P_{\text{ref}}$  (punctul spre care privește observatorul) sunt  $(x_{\text{ref}}, y_{\text{ref}}, z_{\text{ref}})$ . Vectorul  $V = (V_x, V_y, V_z)$  induce **verticala din planul de vizualizare**, i.e. planul care trece prin punctul  $P_0$  și este perpendicular pe vectorul  $\overrightarrow{P_{\text{ref}}P_0} = P_0 - P_{\text{ref}}$  (se presupune că  $V$  și  $N$  nu sunt coliniari, altminteri obținem erori de reprezentare). Valorile implicate (utilizate inclusiv în cazul în care reprezentăm scene 2D, fără a schimba reperul de modelare) sunt  $P_0 = (0, 0, 0)$ ,  $P_{\text{ref}} = (0, 0, -1)$ , respectiv  $V = (0, 1, 0)$ .

Indicarea punctelor  $P_0$ ,  $P_{\text{ref}}$  și a vectorului  $V$  generează un nou sistem de coordonate, numite **coordonate de vizualizare**. Originea acestui sistem este punctul  $P_0$ , iar axele sistemului sunt date de reperul ortonormat  $(u, v, n)$ , obținut după cum urmează:

$$n = \frac{N}{\|N\|}, \quad u = \frac{V \times n}{\|V \times n\|}, \quad v = n \times u.$$

Vectorul  $v$  este coliniar cu proiecția  $V - \frac{\langle V, N \rangle \cdot N}{\|N\|}$  vectorului  $V$  pe planul de vizualizare, iar în cazul în care  $V$  este conținut în acest plan (i.e.  $V$  este perpendicular pe  $N$ ) are loc relația  $v = \frac{V}{\|V\|}$ . Trecerea de la coordonate de modelare la coordonate de vizualizare se face în două etape:

1. Se translatează originea reperului de modelare în originea reperului de vizualizare, iar matricea acestei transformări este

$$T = \begin{pmatrix} 1 & 0 & 0 & -x_0 \\ 0 & 1 & 0 & -y_0 \\ 0 & 0 & 1 & -z_0 \\ 0 & 0 & 0 & 1 \end{pmatrix}.$$

2. Se efectuează o rotație, astfel ca sistemul  $(u, v, n)$  să fie transformat în sistemul canonic  $(e_1, e_2, e_3)$  care direcționează axele reperului de modelare. Matricea  $3 \times 3$  care transformă sistemul  $(e_1, e_2, e_3)$  în  $(u, v, n)$  este matricea ortogonală

$$A = \begin{pmatrix} u_x & v_x & n_x \\ u_y & v_y & n_y \\ u_z & v_z & n_z \end{pmatrix},$$

deci trecerea de la  $(u, v, n)$  la  $(e_1, e_2, e_3)$  este realizată de  $A^{-1} = A^t$ . Matricea  $4 \times 4$  corespunzătoare acestei schimbări de reper este

$$R = \begin{pmatrix} u_x & u_y & u_z & 0 \\ v_x & v_y & v_z & 0 \\ n_x & n_y & n_z & 0 \\ 0 & 0 & 0 & 1 \end{pmatrix}.$$

În concluzie, trecerea de la reperul de modelare la reperul de vizualizare este dată de matricea

$$\mathcal{M}_{\text{coord.mod}, \text{coord.viz}} = R \cdot T = \begin{pmatrix} u_x & u_y & u_z & -\langle u, P_0 \rangle \\ v_x & v_y & v_z & -\langle v, P_0 \rangle \\ n_x & n_y & n_z & -\langle n, P_0 \rangle \\ 0 & 0 & 0 & 1 \end{pmatrix}$$

(prin abuz de notație am identificat punctul  $P_0$  cu vectorul  $P_0$  din  $\mathbf{R}^3$ ).

## 4.2 Transformări de proiecție

### 4.2.1 Proiecții ortogonale

Utilizarea unei proiecții ortogonale se face precizând modul matriceal de lucru (proiecție), precum și indicând paralelipipedul dreptunghic care urmează să fie ocupat.

Coordinatele în raport cu care se lucrează sunt cele de vizualizare, deci originea este situată în punctul  $P_0$ , iar axele sistemului sunt date de vecto-rii  $u, v, n$ . Paralelipipedul care urmează să fie ocupat este delimitat de planele  $x = xw_{\min}, x = xw_{\max}; y = yw_{\min}, y = yw_{\max}$ , respectiv  $z = z_{\text{near}}$ , unde  $z_{\text{near}} = -d_{\text{near}}$ ,  $z = z_{\text{far}}$ , unde  $z_{\text{far}} = -d_{\text{far}}$ . Valorile implicate sunt  $-1.0, 1.0, -1.0, 1.0, -1.0, 1.0$  (valori normalizate), iar pentru valori arbitrate se efectuează normalizarea (aducerea parametrilor indicați la valorile implicate), care este o scalare, iar matricea  $4 \times 4$  asociată este

$$\mathcal{M}_{\text{ortho}, \text{norm}} = \begin{pmatrix} \frac{2}{xw_{\max} - xw_{\min}} & 0 & 0 & -\frac{xw_{\max} + xw_{\min}}{xw_{\max} - xw_{\min}} \\ 0 & \frac{2}{yw_{\max} - yw_{\min}} & 0 & -\frac{yw_{\max} + yw_{\min}}{yw_{\max} - yw_{\min}} \\ 0 & 0 & -\frac{2}{z_{\text{near}} - z_{\text{far}}} & \frac{z_{\text{near}} + z_{\text{far}}}{z_{\text{near}} - z_{\text{far}}} \\ 0 & 0 & 0 & 1 \end{pmatrix}. \quad (4.1)$$

### 4.2.2 Proiecții paralele oblice

### 4.2.3 Proiecții perspective

Bibliotecile OpenGL conțin două funcții care permit realizarea unei proiecții centrale (perspectivă) pentru o scenă dată. Prima dintre ele are un caracter general, indicând un trunchi de piramidă care urmează să fie ocupat.

Cea de-a două funcție, conținută în biblioteca GLU, permite realizarea unei proiecții perspective simetrice.

### 4.3 Exerciții

**Exercițiu 4.3.1** Se presupune că s-a apelat funcția `gluLookAt (1,1,1,2,1,1,0,1,0)`. Calculați vesorul care direcționează vesorul din planul de vizualizare.

**Exercițiu 4.3.2** Care sunt valorile implicate pentru verticala din planul de vizualizare, indicată în funcția `gluLookAt`?

**Exercițiu 4.3.3** Se apelează funcția `glOrtho (10, 30, 20, 40, 5, 10)`. Calculați suma elementelor de pe diagonala principală a matricei.

**Exercițiu 4.3.4** De ce în cazul funcției `glFrustum` sunt necesari șase parametri, iar în cazul funcției `gluPerspective` doar patru?.

# Capitolul 5

## Iluminarea scenelor

### 5.1 Modele de iluminare

Un model de iluminare este definit de patru componente:

- intensitatea luminii ambientale globale;
- poziția punctului de vizualizare față de scenă;
- diferențierea fețelor obiectelor;
- modul în care este calculată culoarea speculară (separat de componenta ambientală și cea difuză și după texturare).

$$\begin{aligned} \text{vertex color} = & \text{emission}_{\text{material}} + \\ & \text{ambient}_{\text{light model}} * \text{ambient}_{\text{material}} + \\ & \sum_{i=0}^{N-1} \text{attenuation factor}_i \cdot \text{spotlight effect}_i \cdot \\ & (\text{ambient term} + \text{diffuse term} + \text{specular term})_i, \end{aligned} \quad (5.1)$$

unde  $N$  este numărul surselor de lumină.

Pentru o sursă (punctuală) fixată factorul de atenuare (attenuation factor) se calculează cu formula

$$\text{attenuation factor} = \frac{1}{a_0 + a_1 d + a_2 d^2},$$

unde  $d$  este distanța de la sursa de lumină la vârful considerat.

Efectul de tip spot este cuantificat de factorul

$$\text{spotlight effect} = \begin{cases} 1, & \text{dacă } \theta_l = 180^\circ \\ 0, & \text{dacă } \mathbf{v}_{\text{obj}} \cdot \mathbf{v}_{\text{light}} < \cos \theta_l, \\ (\mathbf{v}_{\text{obj}} \cdot \mathbf{v}_{\text{light}})^{a_l}, & \text{în celelalte cazuri.} \end{cases}$$

Cu  $\mathbf{v}_{\text{obj}}$  este notat vectorul unitar orientat de la sursa de lumină la obiectul iluminat, iar cu  $\mathbf{v}_{\text{light}}$  este notat versorul direcției spotului de lumină `GL_SPOT_DIRECTION`.

Termenul ambiental corespunzător unei surse de lumină este

$$\text{ambient term} = \text{ambient}_{\text{light}} * \text{ambient}_{\text{material}}.$$

Reflexia difuză pentru o sursă de lumină este descrisă de factorul

$$\text{diffuse term} = \begin{cases} (\mathbf{L} \cdot \mathbf{n}) \cdot \text{diffuse}_{\text{light}} * \text{diffuse}_{\text{material}}, & \text{dacă } \mathbf{L} \cdot \mathbf{n} > 0 \\ 0, & \text{dacă } \mathbf{L} \cdot \mathbf{n} \leq 0, \end{cases}$$

unde  $\mathbf{L}$  este vectorul unitar orientat de la vârf la sursa de lumină (în cazul surselor direcționale este opusul direcției acesteia, normat), iar  $\mathbf{n}$  este normala la suprafață în vârful considerat. Reflexia speculară este dată de

$$\text{specular term} = \begin{cases} (\mathbf{H} \cdot \mathbf{n})^{\text{shininess}} \cdot \text{specular}_{\text{light}} * \text{specular}_{\text{material}}, & \text{dacă } \mathbf{L} \cdot \mathbf{n} > 0 \\ 0, & \text{dacă } \mathbf{L} \cdot \mathbf{n} \leq 0, \end{cases}$$

unde  $\mathbf{H} = \frac{\mathbf{L} + \mathbf{V}}{\|\mathbf{L} + \mathbf{V}\|}$ , iar  $\mathbf{V}$  este vesorul determinat de vârful considerat și poziția observatorului.

## 5.2 Exerciții

**Exercițiu 5.2.1** Care este vectorul de poziție implicit pentru o sursă de lumină?

**Exercițiu 5.2.2** Care este combinația RGB corespunzătoare unui vârf cu proprietățile de material GL\_EMISSION (0.3, 0.4, 0.1), GL\_AMBIENT (1.0, 0.4, 0.5), dacă GL\_LIGHT\_MODEL\_AMBIENT este (0.4, 0.5, 0.2) și nu este activată nicio sursă de lumină?

**Exercițiu 5.2.3** Determinați valoarea termenului difuz (*diffuse term*) pentru un vârf de coordonate (2, 3, 4) cu proprietățile de material GL\_DIFFUSE=(0.3, 0.4, 0.2) știind că normala la suprafață în vârful respectiv este (0, 0, 1) și sursa de lumină este situată în punctul (3, 4, 3)?

**Exercițiu 5.2.4** Care este factorul de atenuare implicit pentru o sursă aflată la distanța 5 de un vârf?

# Capitolul 6

## Efecte vizuale

### 6.1 Transparentă; amestecare; factor $\alpha$

Factorul destinație (fragmentul deja procesat) și factorul sursă (obiectul care urmează să fie procesat și înregistrat) sunt "amestecate" utilizând o funcție  $\varphi(D, F_d, S, F_s)$ . Combinarea se realizează după formula

$$\varphi(D, F_d, S, F_s) = F_d * D + F_s * S, \quad (6.1)$$

urmată de 'clamp'.

Constantă simbolică	Factor RGB	Factor A
GL_ZERO	(0, 0, 0)	0
GL_ONE	(1, 1, 1)	1
GL_SRC_ALPHA	( $A_s, A_s, A_s$ )	$A_s$
GL_ONE_MINUS_SRC_ALPHA	(1, 1, 1) - ( $A_s, A_s, A_s$ )	1 - $A_s$
GL_DST_ALPHA	( $A_d, A_d, A_d$ )	$A_d$
GL_ONE_MINUS_DST_ALPHA	(1, 1, 1) - ( $A_d, A_d, A_d$ )	1 - $A_d$
GL_SRC_COLOR	( $R_s, G_s, B_s$ )	$A_s$
GL_ONE_MINUS_SRC_COLOR	(1, 1, 1) - ( $R_s, G_s, B_s$ )	1 - $A_s$
GL_DST_COLOR	( $R_d, G_d, B_d$ )	$A_d$
GL_ONE_MINUS_DST_COLOR	(1, 1, 1) - ( $R_d, G_d, B_d$ )	1 - $A_d$
GL_CONSTANT_COLOR	( $R_c, G_c, B_c$ )	$A_c$
GL_ONE_MINUS_CONSTANT_COLOR	(1, 1, 1) - ( $R_c, G_c, B_c$ )	1 - $A_c$
GL_CONSTANT_ALPHA	( $A_c, A_c, A_c$ )	$A_c$
GL_ONE_MINUS_CONSTANT_ALPHA	(1, 1, 1) - ( $A_c, A_c, A_c$ )	1 - $A_c$
GL_SRC_ALPHA_SATURATE	( $f, f, f$ ); $f = \min(A_s, 1 - A_d)$	1

Mod de amestecare	Expresie matematică ( $\varphi$ )
GL_FUNC_ADD	$F_s \cdot S + F_d \cdot D$
GL_FUNC_SUBTRACT	$F_s \cdot S - F_d \cdot D$
GL_FUNC_REVERSE_SUBTRACT	$F_d \cdot D - F_s \cdot S$
GL_MIN	$\min(F_s \cdot S, F_d \cdot D)$
GL_MAX	$\max(F_s \cdot S, F_d \cdot D)$
GL_LOGIC_OP	$F_s \text{ op } F_d$

## 6.2 Teste de adâncime

O altă clasă de funcții standard în OpenGL sunt cele care permit efectuarea unor teste de adâncime pentru selectarea suprafeteelor vizibile. Pentru a putea utiliza aceste facilități, trebuie în primul rând, modificată funcția GLUT de inițializare `glutInitDisplayMode`, adăugându-i argumentul `GLUT_DEPTH`, care specifică utilizarea buffer-ului de adâncime (depth buffer). De exemplu, dacă utilizăm un singur buffer de culoare și dorim să activăm buffer-ul de adâncime, în programul principal va figura comanda:

```
glutInitDisplayMode (GLUT_SINGLE | GLUT_RGB | GLUT_DEPTH);
```

Valorile pentru buffer-ul de adâncime pot fi inițializate cu funcția

```
glClear (GL_DEPTH_BUFFER_BIT);
```

Alternativ, acestea pot fi inițializate simultan cu cele ale buffer-ului de culoare:

```
glClear (GL_COLOR_BUFFER_BIT | GL_DEPTH_BUFFER_BIT);
```

Activarea propriu-zisă a rutinelor de detectare a vizibilității se face cu funcția

```
 glEnable (GL_DEPTH_TEST);
```

iar dezactivarea lor se face, în mod corespunzător, cu funcția

```
 glDisable (GL_DEPTH_TEST);
```

În OpenGL, valorile pentru care se efectuează testul de adâncime sunt normalize, fiind situate în intervalul  $[0.0, 1.0]$  (0.0 corespunde planului apropiat de decupare, iar 1.0 planului îndepărtat de decupare). Valoarea maximă inițială pentru care se efectuează testarea poate fi modificată adăugând înainte de comanda `glClear (GL_DEPTH_BUFFER_BIT);` funcția

```
 glClearDepth (maxDepth);
```

În acest fel, testul de adâncime va fi efectuat doar pentru obiecte având adâncimea situată intervalul  $[0, maxDepth]$ . În particular, această funcție este utilă atunci când scena pe care vrem să o reprezentăm conține obiecte foarte îndepărtate de obiectele din prim plan.

O altă facilitate disponibilă în OpenGL este modificarea condiției de testare efectuată de rutinele de detectare a vizibilității. O astfel de condiție poate fi specificată apelând funcția

```
glDepthFunc (test);
```

Parametrul `test` poate avea ca valoare oricare dintre constantele simbolice

`GL_LESS`, `GL_GREATER`, `GL_EQUAL`, `GL_NOTEQUAL`, `GL_LEQUAL`, `GL_GEQUAL`, `GL_NEVER`, `GL_ALWAYS`.

Valoarea implicită a lui `test` este `GL_LESS`, cu alte cuvinte sunt testate obiectele având adâncimea mai mică decât *maxDepth*.

### 6.3 Efectul de ceață

Culoarea unui fragment este stabilită cu o formulă de tipul

$$C = f \cdot C_i + (1 - f) \cdot C_f. \quad (6.2)$$

Factorul ceață  $f$  este dependent de distanță,  $f = f(z)$ ; aceasta depinde de modelul utilizat (liniar, exponențial, exponențial pătratic).

Funcția OpenGL specifică este

```
glFog* (parametru, valoare_parametru);
```

parametru	valoare_parametru
	<code>GL_LINEAR</code>
<code>GL_FOG_MODE</code>	<code>GL_EXP</code>
	<code>GL_EXP2</code>
<code>GL_FOG_DENSITY</code> ( $\rho$ )	
<code>GL_FOG_START</code>	
<code>GL_FOG_END</code>	
<code>GL_FOG_COLOR</code>	

### 6.4 Exerciții

**Exercițiul 6.4.1** Se presupune că se utilizează modelul de amestecare în care factorul sursă are toate componente egale cu `GL_SRC_ALPHA`, iar factorul destinație `GL_ONE_MINUS_SRC_ALPHA`. Se desenează un pătrat verde, apoi un pătrat roșu. Care va fi combinația RGB în zona de suprapunere, dacă fundalul este  $(0.0, 0.0, 0.0, 1.0)$  și ambele pătrate au componenta `ALPHA= 0.5`?

**Exercițiul 6.4.2** Care este valoarea implicită a funcției  $f$  (factor ceață) pentru  $z = 3$ ?

# Bibliografie

- 
- [1] G. Albeanu, *Grafica pe calculator. Algoritmi fundamentali*, Editura Universității din București, 2001.
  - [2] W. Boehm și H. Prautzsch, *Geometric Concepts for Geometric Design*, AK Peters, Wellesley, 1994.
  - [3] J. Foley, A. van Dam, S. Feiner și J. Hughes, *Computer Graphics: Principles and Practice* (2nd edition in C), Addison Wesley, 1995.
  - [4] P. Schneider și D. Eberly, *Geometric Tools for Computer Graphics*, Morgan Kaufmann, 2003.
- 
- [5] R. Baciu, *Programarea aplicațiilor grafice 3D cu OpenGL*, Editura Albastră, 2005.
  - [6] D. Hearn și M. Baker, *Computer Graphics with OpenGL*, Prentice Hall, 2003.
  - [7] G. Sellers, R. S. Wright Jr., N. Haemel, *OpenGL: SuperBible. Comprehensive Tutorial and Reference*, 7th edition, Addison-Wesley, 2015,  
<http://www.openglsuperbible.com/>
  - [8] P. Shirley, M. Ashikhmin, M. Gleicher, S. Marschner, E. Reinhard, K. Sung, W. Thompson și P. Willemsen, *Fundamentals of Computer Graphics* (2nd edition), AK Peters, Wellesley, 2005.
  - [9] D. Shreiner, G. Sellers, J. Kessenich, B. Licea-Kane *OpenGL Programming Guide* (8th edition), Addison Wesley, 2013.  
<http://www.opengl-redbook.com>
- 
- [10] L. Bădescu, *Lecții de Geometrie*, Editura Universității București, 2000.
  - [11] G. Farin, *Curves and Surfaces for CAGD - A practical guide*, Academic Press, 2002.  
<http://www.farinahansford.com/books/cagd/materials.html>  
<http://www.vis.uni-stuttgart.de/kraus/LiveGraphics3D/cagd/>
  - [12] L. Ornea și A. Turtoi, *O introducere în geometrie*, Editura Theta, București, 2000.
  - [13] H. Prautzsch, W. Boehm și M. Paluszny, *Bézier and B-Spline Techniques*, Springer, 2002.  
<http://i33www.ira.uka.de/applets/mocca/html/noplugin/inhalt.html>